

بررسی کیفیت مخزنی سازند غار- آسماری در یکی از میادین هیدروکربنی ایران با استفاده از وارون‌سازی پیش از برانبارش

نسرین جباری^۱، نوید شاد منامن^{۲*}، علی چهرازی^۳

^۱ دانشجوی کارشناسی ارشد، دانشگاه صنعتی سهند، تبریز، ایران

^۲ استادیار، عضو هیات علمی دانشگاه صنعتی سهند، تبریز، ایران

^۳ رئیس قسمت زمین‌شناسی پژوهشگاه صنعت نفت، تهران، ایران

(تاریخ دریافت: ۱۳۹۷/۱۰/۱۹، تاریخ پذیرش: ۱۳۹۸/۱۱/۲۹)

چکیده

شناسایی محدوده مخزن با استفاده از داده‌های لرزه‌ای اهمیت فراوانی برای افزایش تولید نفت و گاز در میادین هیدروکربنی دارد. در این پژوهش، از وارون‌سازی پیش از برانبارش بهمنظور بررسی نوع سیال و تغییرات خواص مخزنی (مقاومت صوتی، مقاومت برشی و تخلخل) در یکی از میادین نفتی ایران در سازندهای مخزنی غار- آسماری و چهرم استفاده و کیفیت مخزنی سازند غار- آسماری با توجه به تغییرات چگالی و مقاومت‌های تراکمی و برشی تعیین شد. همچنین از روش LithoSI جهت ارزیابی دقیق سنگ‌شناسی‌های احتمالی و کمک به تشخیص چینه‌شناسی و تفسیر بهتر مناطق حاوی سیال و شناسایی محدوده مخزنی در این میدان نفتی استفاده شد. نتایج وارون‌سازی لرزه‌ای پیش از برانبارش، کاهش چگالی و مقاومت‌های تراکمی و برشی را در ناحیه غار- آسماری نشان می‌دهد. از ناحیه غار- آسماری تا چهرم، چگالی و مقاومت‌های تراکمی و برشی افزایش باقته است. همچنین نتایج نمودارهای مقاومت صوتی بر حسب مقاومت برشی براساس تغییرات تخلخل و تغییرات اشباع‌شدگی آب نشان می‌دهد در ناحیه غار- آسماری مقدار تخلخل، زیاد و اشباع‌شدگی از آب، کم است و از ناحیه غار- آسماری تا چهرم، مقدار اشباع‌شدگی آب افزایش و مقدار تخلخل کاهش پیدا کرده است. در روش LithoSI با استفاده از نمودارهای تقاطعی مقاومت صوتی بر حسب نسبت سرعت موج تراکمی به سرعت موج برشی می‌توان نوع سیال در چاه را تشخیص داد. از آنجایی که مقاومت صوتی حاصل ضرب چگالی در سرعت صوت است، با افزایش تخلخل، چگالی و سرعت صوت کاهش می‌یابد. نتایج نشان می‌دهد که در سازند غار- آسماری مقدار تخلخل زیاد و مقاومت صوتی کم است. با انجام این روش در چاه و مقایسه آن با نتایج وارون‌سازی پیش از برانبارش، وجود نفت و گاز در سازند غار- آسماری اثبات شد.

واژه‌های کلیدی: وارون‌سازی پیش از برانبارش، تخلخل، مقاومت صوتی، مقاومت برشی، اشباع‌شدگی

کاستاگنا، ۲۰۱۴). همپسون و همکاران (۲۰۰۵) با بسط کار بولاند و عمر روش جدیدی را به عنوان وارون‌سازی پیش از برانبارش جهت به دست آوردن مقاومت تراکمی، برشی و چگالی ارائه دادند. طبیعی و همکاران (۱۳۹۱) از وارون-پژوهشگران از روش LithoSI برای تفکیک ناحیه مخزنی استفاده کردند. در همه روش‌های یادشده، رابطه تخلخل و مقاومت صوتی بیان نشده و تغییرات تخلخل نیز بررسی نشده است.

پژوهشگران از روش LithoSI برای تفکیک ناحیه مخزنی استفاده کردند.

امروزه، وارون‌سازی داده‌های لرزه‌ای پیش از برانبارش امری متداول است، اما چالش اصلی در این روش، نحوه استفاده از مقادیر کشسانی حاصل از آن در طبقه‌بندی سنگ‌شناسی و تفکیک انواع مناطق حاوی سیال و به طور کلی، تفسیر و ارزیابی مخزن است. یکی از راه‌های تفسیر، تهیه نمودارهای تقاطعی نشان‌دهنده‌های حاصل از داده‌های چاه است؛ برای مثال می‌توان نمودار تقاطعی نسبت سرعت موج طولی و موج برشی را بر حسب مقاومت صوتی تهیه و محدوده مورد نظر را روی آن مشخص کرد. با این کار، مقادیر حاصل از وارون‌سازی منطقه مورد نظر تفکیک می‌شود و می‌توان آن را روی مقطع نشان داد. با این حال، داده‌های لرزه‌ای به میزان فراوانی تحت تأثیر ضخامت نواحی هستند و در موارد زیادی نمی‌توان منطقه را با اطمینان مشخص کرد (مانند وجود منطقه کم ضخامت حاوی گاز؟)؛ بنابراین، به جای انتخاب مستقیم یک منطقه از روی نمودارهای تقاطعی معین، می‌توان یک توزیع احتمالی برای منطقه مورد نظر تعریف کرد. این کار که به افزایش دقت در طبقه‌بندی سنگ‌شناسی، تفکیک بهتر مناطق حاوی سیال و به طور کلی، پیش‌بینی بهتر خواص مخزن می‌انجامد، به کمک الگوریتم LithoSI انجام می‌شود. این الگوریتم برای پیش‌بینی سنگ‌شناسی یا دسته‌بندی داده‌های پتروفیزیکی از نشان‌دهنده‌های حاصل از وارون‌سازی پیش از برانبارش بهره می‌گیرد.

۱.... مقدمه

یکی از مهم‌ترین روش‌ها برای تعیین محدوده مخزن، وارون‌سازی (مدل‌سازی معکوس) داده‌های لرزه‌ای است. در وارون‌سازی داده‌های لرزه‌ای باید سعی شود از ترکیب داده‌های لرزه‌ای با سایر داده‌های زمین‌شناسی و داده‌های حاصل از نمودارهای چاه، اطلاعاتی را برای تخمین آسان ویژگی‌هایی نظیر نوع سنگ‌شناسی و تخلخل به دست آورده ارزیابی خواص سنگ از داده‌های لرزه‌ای با دو روش انجام می‌شود. روش اول، وارون‌سازی پس از برانبارش است که گودوی و همکاران (۱۹۹۷) آن را مطرح و با استفاده از آن، مقاومت تراکمی را محاسبه کردند. روش دوم را همپسون و همکاران (۲۰۰۵) با نام وارون‌سازی پیش از برانبارش معرفی کردند (اندرسون، ۲۰۰۹). وارون‌سازی پس از برانبارش، دامنه‌های لرزه‌ای را به مقاومت تراکمی تبدیل می‌کند که در نتیجه آن، فرکانس‌های کم به دلیل اعمال پردازش‌های مختلف از بین می‌روند که این مسئله باید با نگاره‌های صوتی فیلترشده جبران شود؛ بنابراین، وارون‌سازی پس از برانبارش عدم اطمینان زیادی به همراه دارد و تنها اطلاعات بازرسی که از آن حاصل می‌شود، مقاومت موج تراکمی است (قبرنثاد و همکاران، ۲۰۱۷). در وارون‌سازی پیش از برانبارش، می‌توان مقاومت موج تراکمی، اطلاعات موج برشی، چگالی و نسبت پواسون را نیز از داده‌های برانبارش نشده استخراج کرد؛ از این‌رو، وارون‌سازی پیش از برانبارش، ارزش بیشتری نسبت به وارون‌سازی پس از برانبارش دارد (موسوی و همکاران، ۲۰۱۶). مالیک (۱۹۹۹) وارون‌سازی پس از برانبارش و وارون‌سازی پیش از برانبارش را در یک میدان گازی به کاربرد و نتیجه گرفت که وارون‌سازی پیش از برانبارش، جزئیات بیشتری از مخزن را نسبت به وارون‌سازی پس از برانبارش در اختیار می‌گذارد. ما (۲۰۰۲) استخراج دامنه بر حسب دورافت و وارون‌سازی مقاومت صوتی را به عنوان یک مسئله بهینه‌سازی عمودی فرمول‌بندی کرد (چوپرا و

وارونسازی پیش از برآنبارش و اعمال آن بر مقطع لرزه‌ای، محدوده مخزنی و غیرمخزنی مشخص شد. شکل ۱ الگوریتم وارونسازی پیش از برآنبارش را نشان می‌دهد. تخلخل و تراوایی دو پارامتر پتروفیزیکی مؤثر در ارزیابی مخازن هیدرولوگی ای از است. تخلخل و تعیین محدوده شکستگی و نواحی تراوا و جداسازی آن از نواحی ناتراوا با نگاره گاما صورت می‌گیرد. در مرحله بعدی، محاسبه میزان تراوایی با روش‌های آزمایشگاهی و سرچاهی انجام می‌پذیرد. بررسی دامنه استونلی که در مجموعه امواج سطحی طبقه‌بندی می‌شود، در تعیین پارامتر تراوایی نقش مؤثرتری دارد. موج استونلی روی دیواره چاه حرکت می‌کند و با وارد شدن به نواحی تراوا و شکسته، دامنه آن تقلیل می‌یابد. نسبت دامنه تقلیل یافته به دامنه اولیه معیاری از میزان تراوایی محسوب می‌شود. به علت نبود داده‌های موج استونلی در چاه‌های مذکور، تعیین نواحی شکسته و تراوا میسر نشد.

۲ وارونسازی

پارامترهای وارونسازی عبارت‌اند از:

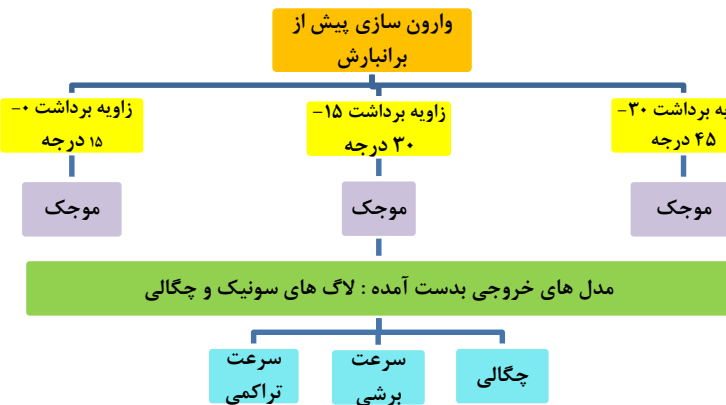
ماتریس داده‌ها؛ d :

ماتریس پارامترهای مدل؛ m :

ماتریس کرنل داده‌ها؛ G :

اگر پارامترهای مدل از داده‌ها جدا باشد (explicit) رابطه $d = Gm$ برقرار است و حالت‌های مختلف زیر رخ می‌دهد:

در این پژوهش، از روش وارونسازی پیش از برآنبارش در یکی از میادین هیدرولوگی ایران بهمنظور بررسی تغییرات اشباع آب، تخلخل، چگالی و مقاومت‌های صوتی و برشی استفاده شده است. با این‌منظور، سی و پنج موجک در بازه‌های نزدیک، میانه و دور با استفاده از داده‌های چاه ساخته شد و در نهایت، پنج موجک میانگین به‌دست آمد. سپس مدل‌های فرکانس پایین چگالی، موج تراکمی و برشی به‌عنوان یکی از ورودی‌های وارونسازی ساخته و درنتیجه، با انجام وارونسازی پیش از برآنبارش، مقاومت تراکمی، برشی و چگالی با استفاده از معادلات محاسبه شدند. همچنین نمودارهای تقاطعی مقاومت صوتی بر حسب مقاومت برشی براساس تغییرات اشباع آب و تغییرات تخلخل بررسی شدند. با توجه به این نمودارهای تقاطعی، تفکیک سیال به‌درستی صورت گرفت. از داده‌های چاه برای ساخت لرزه‌نگاشت مصنوعی جهت تطبیق داده‌های لرزه‌ای با داده‌های چاه استفاده شده است. در مرحله آخر، با تبدیل دورافت به زاویه و همچنین استفاده از اطلاعات چاه، به وارونسازی پیش از برآنبارش و استخراج پارامترهای پتروفیزیکی پرداخته شده است. برای انجام وارونسازی پیش از برآنبارش بر مبنای مدل، مدل‌های اولیه‌ای با استفاده از نگاره‌های چاه و اطلاعات لرزه‌ای استخراج و سپس موجک‌هایی در بازه‌های زاویه‌ای نزدیک، میانی و دور از چاه‌ها ساخته و با انجام دادن



شکل ۱. الگوریتم وارونسازی پیش از برآنبارش (شولت و مانشی، ۱۴۰۲).

وارونسازی پیش از برانبارش برطرف ساخت. وارونسازی پیش از برانبارش، نوعی وارونسازی AVO است که در آن، مکعب داده‌های لرزه‌ای به مکعب ضرایب بازتاب برای دورافت‌های مختلف تبدیل و نقطه‌های عمقی مشترک محاسبه می‌شود (ویکن، ۲۰۰۶).

روابط ریاضی استفاده شده در گودوی و همکاران (۱۹۹۷) در وارونسازی پیش از برانبارش، که بر مبنای معادلات آکی-ریچاردز است، به شرح زیر است:

$$\begin{aligned} R(\theta) = & \left[\frac{1}{2} (1 + \tan^2 \theta) \right] \times \frac{\Delta I_p}{I_p} + \\ & \left[4 \frac{\beta^2}{\alpha^2} \sin^2 \theta \right] \times \frac{\Delta I_s}{I_s} - \\ & \left[\frac{1}{2} \tan^2 \theta - 2 \frac{\beta^2}{\alpha^2} \sin^2 \theta \right] \frac{\Delta \rho}{\rho}, \end{aligned} \quad (5)$$

که θ زاویه فرود است و α ، β و ρ به ترتیب سرعت موج طولی، سرعت موج برشی و چگالی هستند. با توجه به چوپرا و کاستاگنا (۲۰۱۴) انتظار می‌رود در زمان نبود پارامترهای پیچیده‌ای مانند هیدروکربن، رابطه بین سرعت موج تراکمی و برشی باید خطی باشد. همچنین انتظار می‌رود رابطه گاردنر، ۱۹۷۴ بین چگالی و سرعت موج تراکمی برقرار باشد که وارونسازی پیش از برانبارش، این روابط را بیان می‌کند. در الگوریتم همپیسون و همکاران (۲۰۰۵)، هدف از وارونسازی پیش از برانبارش، ایجاد ارتباط منطقی بین متغیرها است، به ویژه در صورت نامطلوب بودن داده‌ها که می‌تواند ناشی از حساسیت زیاد به نویه باشد. روابط حاکم بر الگوریتم مذکور به شرح زیر است:

$$R_{pi} \approx \frac{1}{2} \Delta \ln Z_{pi} = \frac{1}{2} [\ln Z_{pi+1} - \ln Z_{pi}], \quad (6)$$

که Z_p مقاومت صوتی، آشماره فصل مشترک لایه i م و R ضریب بازتاب است.

بر این اساس، دو رابطه خطی برای وارونسازی پیش از برانبارش معرفی می‌شود که رابطه اول با فرض ثابت بودن

۱- اگر تعداد داده‌ها بیشتر از تعداد پارامترهای مدل باشد، حالت فراتخمین (over determined) رخ می‌دهد و پارامترهای مدل با روش کمترین مربعات به دست می‌آیند. جهت یافتن پارامترهای مدل، باید تابع خطای (e) بین داده‌های مشاهده شده (d^{obs}) و داده‌های تخمین‌زده شده (d^{pre}) را کمینه کرد:

$$e = (d^{obs}) - (d^{pre}) \quad (1)$$

$$\begin{aligned} E &= e^T \cdot e \\ E &= (d - Gm)^T \cdot (d - Gm) \\ dE/dm &= 0 \\ m &= (G^T G)^{-1} G^T d \end{aligned} \quad (2)$$

۲- اگر تعداد داده‌ها برابر با تعداد پارامترهای مدل باشد، در این حالت به علت مربعی بودن ماتریس کرنل داده‌ها، پارامترهای مدل به شکل زیر محاسبه می‌شود:

$$m = G^{-1} d \quad (3)$$

۳- اگر تعداد پارامترهای مدل بیش از تعداد داده‌ها باشد، حالت فروتخمین (under determined) رخ می‌دهد و مقدار پارامتر مدل به صورت زیر محاسبه می‌شود:

$$d = G^T (G G^T)^{-1} \quad (4)$$

۳ وارون سازی پیش از برانبارش

روش وارونسازی پیش از برانبارش، بر این فرض استوار است که ضریب بازتاب (R)، تابعی از زاویه تابش است و می‌تواند با معادلات آکی و ریچاردز (۱۹۸۰) بیان شود. هدف از وارونسازی پیش از برانبارش، به دست آوردن تخمین‌های مطمئن از سرعت موج تراکمی، سرعت موج برشی و چگالی است که با استفاده از آنها خصوصیات سنگ‌شناسی و سیال زیرسطحی تعیین می‌شود (ما، ۲۰۰۲). وارونسازی پس از برانبارش، روش قدرتمندی است اما اطلاعات مقاومت صوتی حاصل از آن بین اثرهای ناشی از سنگ‌شناسی، تخلخل و وجود سیالات تفاوتی قائل نمی‌شود؛ بنابراین این محدودیت‌ها را می‌توان با استفاده از

۶- محاسبه k_c ، k_s و m با استفاده از نمودارهای تقاطعی نگاره‌های چاه؛

۷- انجام وارونسازی پیش از برانبارش و به دست آوردن مقاومت تراکمی و برشی، نسبت مقاومت تراکمی به مقاومت برشی و چگالی.

۴ صحبت‌سنگی نتایج و داده‌های مورد نیاز برای

انجام وارونسازی پیش از برانبارش

در این پژوهش، از روش وارونسازی پیش از برانبارش در یکی از میادین هیدروکربنی ایران استفاده شده است. معیار اصلی صحبت‌سنگی نتایج، داده‌های تصحیح شده نگاره‌های چاه هستند. داده‌های مورد استفاده شامل اطلاعات و گزارش‌های زمین‌شناسی، موقعیت چاه‌ها و سرسازندها برای هفت چاه، اطلاعات چاه‌پیمایی از قبیل نگاره‌های چگالی و صوتی، داده‌های لرزه‌ای پیش از برانبارش و افق-های لرزه‌ای و همچنین داده‌های چشمۀ کنترلی به‌منظور کالیبراسیون داده‌های چاه‌پیمایی و داده‌های لرزه‌ای در محل هفت چاه هستند. از داده‌های چشمۀ کنترلی اغلب برای هم‌حوزه کردن داده‌های چاه‌پیمایی و داده‌های لرزه‌ای و کالیبراسیون نگاره‌های صوتی استفاده می‌شود. تصحیح چک‌شات در این میدان در عمق ۲۲۸۴ تا ۲۴۹۰ متری صورت گرفته است. اولین گام این است که داده‌های لرزه‌ای پیش از برانبارش از حوزه زمان-دورافت به حوزه زمان-زاویه انتقال یابند. یک فرض مهم برای این پردازش، داشتن تابع سرعت در محیط لرزه‌ای است که برای تبدیل از دورافت به زاویه از آن استفاده می‌شود. برخی مراحل پردازشی جهت آماده‌سازی داده‌های لرزه‌ای پیش از برانبارش، برای بهینه‌سازی نتایج به کاربرده شده است. یکی از این مراحل شامل تشکیل آبر دسته (super gather) جهت کاهش نوافه‌های تصادفی و همچنین تصحیح استاتیکی باقیمانده رویدادهای به‌خطنشده یا کاهش اعوجاج‌های نامطلوب است. در به کارگیری آبر دسته، عمل

نسبت سرعت موج تراکمی به سرعت موج برشی به دست می‌آید. رابطه (۷) ارتباط میان مقاومت تراکمی و برشی را بیان می‌کند:

$$\ln(z_s) = k \ln(z_p) + k_c + \Delta l_s \quad (7)$$

که k ، شیب و k_c عرض از مبدأ خطی است که از اطلاعات نگاره‌های چاه به دست می‌آید. Δl_s اثری است برای Hallani که سیال سنگ هیدروکربن باشد و اثری از آب نباشد. این مقدار در سنگ خیس برابر صفر است دو مین رابطه از معادله گاردنر و همکاران (۱۹۷۴) به دست می‌آید که رابطه بین چگالی و مقاومت صوتی را بیان می‌کند:

$$\ln \rho = m \ln(z_p) + m_c + \Delta l_D \quad (8)$$

که m شیب و m_c عرض از مبدأ خطی است که از اطلاعات نگاره‌های چاه به دست می‌آید. Δl_D تأثیر عاملی است که ناشی از وجود هیدروکربن است و در صورت نبود هیدروکربن یا وجود آب، مقدار آن صفر است.

به‌طور کلی فرض بر این است که روند خطی، ناشی از نبود هیدروکربن و روند غیرخطی نشان‌دهنده وجود هیدروکربن است. در عمل، سه موجک برای زوایای نزدیک، میانی و دور استخراج و مدل‌های اولیه برای مقاومت تراکمی، مقاومت برشی و چگالی انتخاب می‌شود. سپس مقادیر k_c و m با استفاده از نگاره‌ها محاسبه می‌شوند و مقادیر مقاومت تراکمی، برشی و چگالی با استفاده معادلات به دست می‌آیند.

مراحلی که در وارونسازی پیش از برانبارش طی می‌شود به صورت کلی شامل مراحل زیر است:

- ۱- کالیبره کردن داده‌های چاه‌پیمایی و لرزه‌ای با استفاده از داده‌های چشمۀ کنترلی؛
- ۲- مقایسه هر ردلرزه واقعی با ردلرزه مصنوعی؛
- ۳- تولید دسته‌های زاویه‌ای نزدیک، میانی و دور؛
- ۴- استخراج سه موجک با زوایای نزدیک، میانی و دور؛
- ۵- ساخت مدل اولیه از داده‌های چاه؛

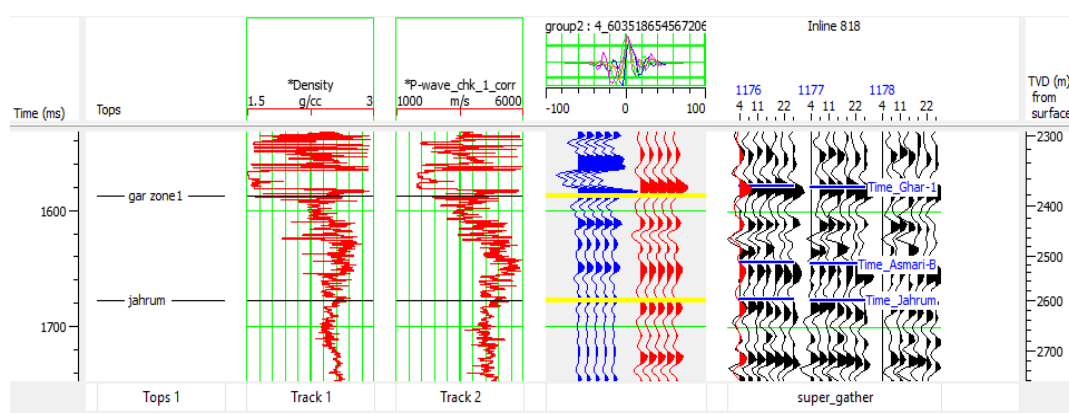
و با بهره‌گیری از داده‌های چاه استخراج می‌شوند. داده‌های چاه می‌تواند اطلاعات صحیحی را از فاز موجک لرزه‌ای در اختیار قرار دهد. موجک‌های میانگین به دست آمده در بازه‌های زاویه‌ای ۵ تا ۹ درجه، ۹ تا ۱۳ درجه، ۱۳ تا ۱۷ درجه، ۱۷ تا ۲۱ درجه و ۲۱ تا ۲۵ درجه از هفت چاه در شکل ۳ نشان داده شده‌اند. با توجه به شکل ۳، موجک‌های با زاویه کم، محتوای فرکانسی بالایی دارند و موجک‌های با زاویه دور محتوای فرکانسی پایین‌تری دارند. پدیده جذب وابسته به فرکانس و کشیدگی برون‌راند نرمال اغلب باعث می‌شوند که موجک دورتر فرکانس پایین‌تری نسبت به موجک نزدیک‌تر داشته باشد.

میانگین حاصل از پنج موجک میانگین در بازه‌های زاویه‌ای نزدیک، دور و میانه در بازه‌های ۵ تا ۹ درجه، ۹ تا ۱۳ درجه، ۱۳ تا ۱۷ درجه، ۱۷ تا ۲۱ درجه و ۲۱ تا ۲۵ از هفت چاه در شکل ۴ نشان داده شده است. پس از استخراج موجک، مدل‌های فرکانس پایین چگالی، موج تراکمی و موج برشی به عنوان یکی از ورودی‌های وارون‌سازی ساخته شدند. در شکل ۵ مدل اولیه برای مقاومت صوتی با استفاده از نگاره‌های چگالی، سرعت موج تراکمی و برشی حاصل از چاه ۷ و افق‌های لرزه‌ای غار-آسماری و جهرم و حجم لرزه‌ای پیش از برآنبارش در راستای مقطع مدنظر ساخته شد.

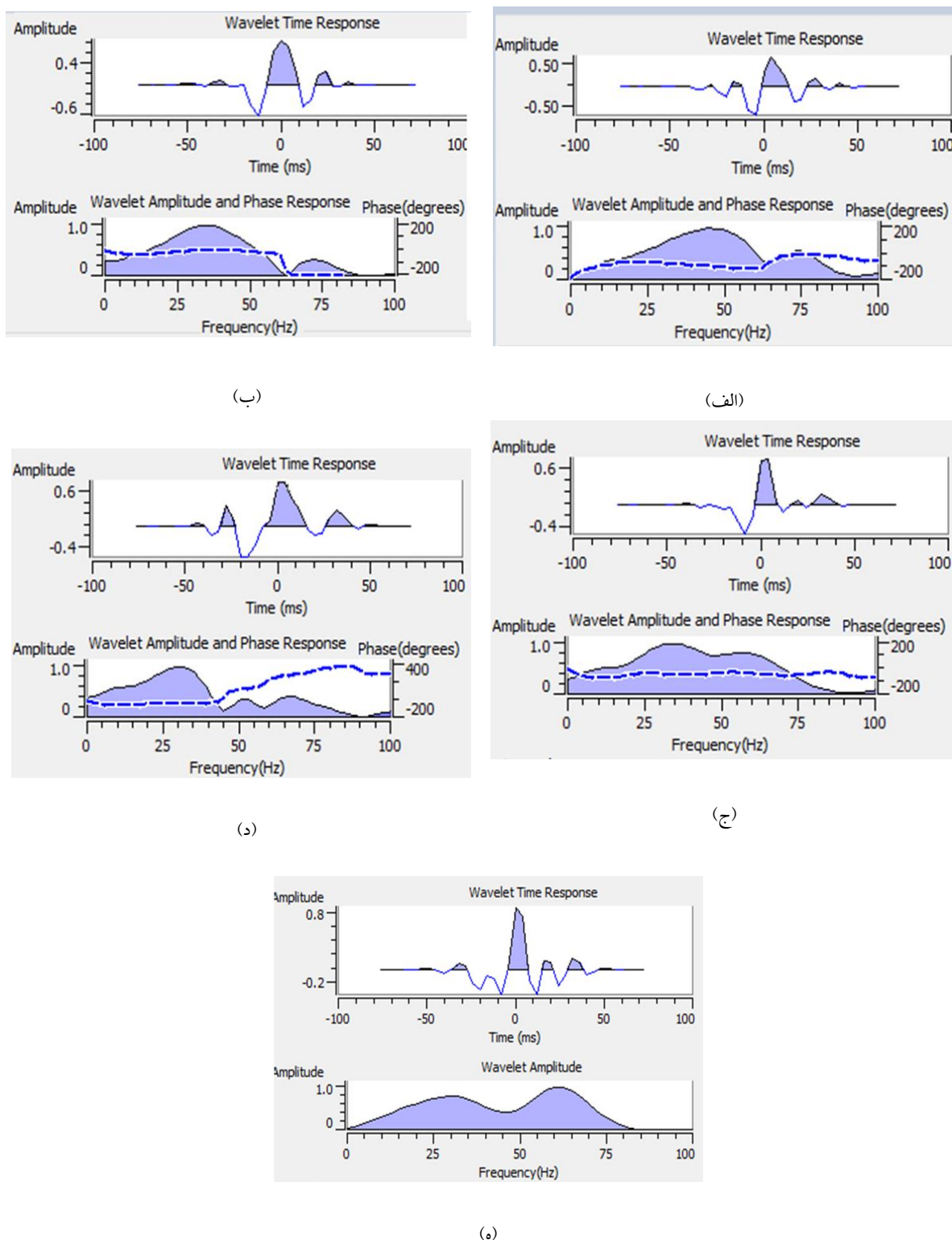
میانگین گیری از هفت نقطه میانی مشترک صورت گرفته است. در ادامه کار، باید انطباق خوبی بین لرزه نگاشت مصنوعی حاصل از نگاره‌های چاه و داده‌های لرزه‌ای پیش از برآنبارش ایجاد کرد. برای همبستگی بین داده‌های لرزه‌ای و داده‌های عمقی چاه از لرزه نگاشت مصنوعی (synthetic seismogram) استفاده می‌شود.

شکل همبستگی بین داده‌های حاصل از چاه و داده‌های لرزه‌ای را با استفاده از موجک‌های بهینه نشان می‌دهد. با توجه به این شکل مشاهده می‌شود که این همبستگی به انتخاب موجک وابسته است و هرچه موجک انتخاب شده بهتر باشد، همبستگی مقدار بیشتری را نشان می‌دهد.

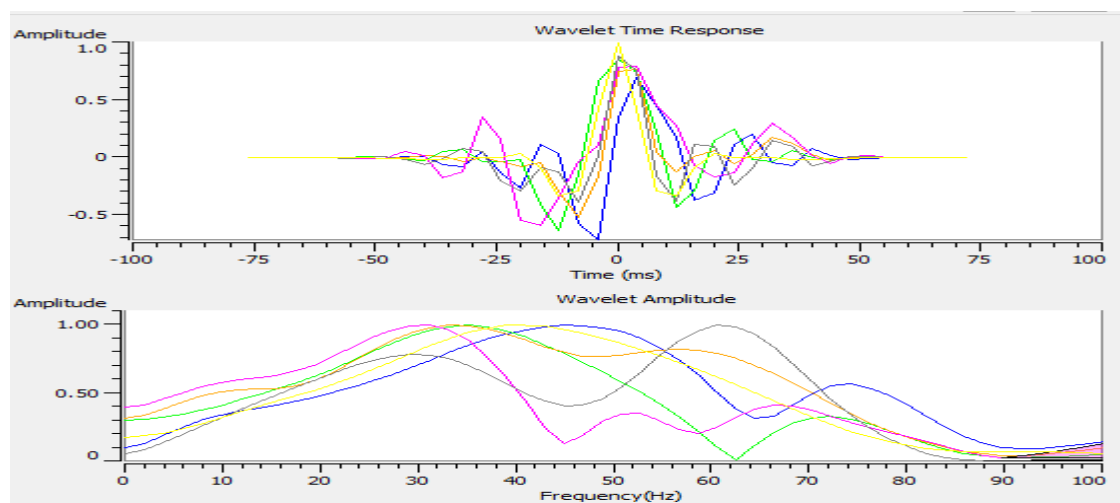
جهت اجرای وارون‌سازی پیش از برآنبارش، برای هر مجموعه ردیلرزه در بازه‌های زاویه‌ای موجود باید یک موجک اختصاص داده شود. وارون‌سازی پیش از برآنبارش این امکان را میسر می‌سازد که از موجک‌های متفاوت برای هر زاویه استفاده شود که از مزیت‌های این روش است. اغلب پدیده جذب وابسته به فرکانس باعث می‌شود که موجک در دورافت‌های دورتر فرکانس کمتری نسبت به موجک در دورافت‌های نزدیک‌تر داشته باشد. در این پژوهش، موجک‌های لرزه‌ای با استفاده از داده‌های لرزه‌ای پیش از برآنبارش در محدوده زمانی ۱۰۰۰ تا ۲۰۰۰ میلی‌ثانیه



شکل ۲. انطباق بین داده‌های حاصل از نگاره‌های چاه و داده‌های متناظر با آن در داده‌های لرزه‌ای با استفاده از موجک‌های میانگین بهینه به دست آمده از چاه‌ها.



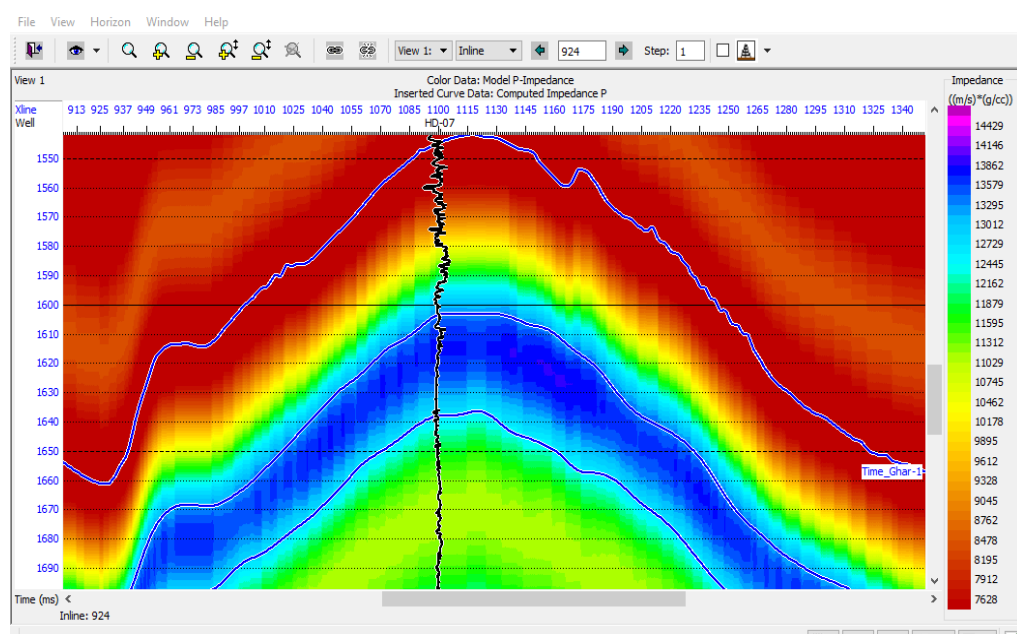
شکل ۳. نمودار زمانی و طیف دامنه موجک‌های میانگین استخراج شده از هفت چاه (الف) موجک میانگین استخراج شده در بازه ۵ تا ۹ درجه (ب) موجک میانگین استخراج شده در بازه زاویه‌ای ۹ تا ۱۳ درجه (ج) موجک میانگین استخراج شده در بازه ۱۳ تا ۱۷ درجه (د) موجک میانگین استخراج شده در بازه ۲۱ تا ۲۵ درجه (ه) موجک میانگین استخراج شده در بازه ۲۱ تا ۲۵ درجه.



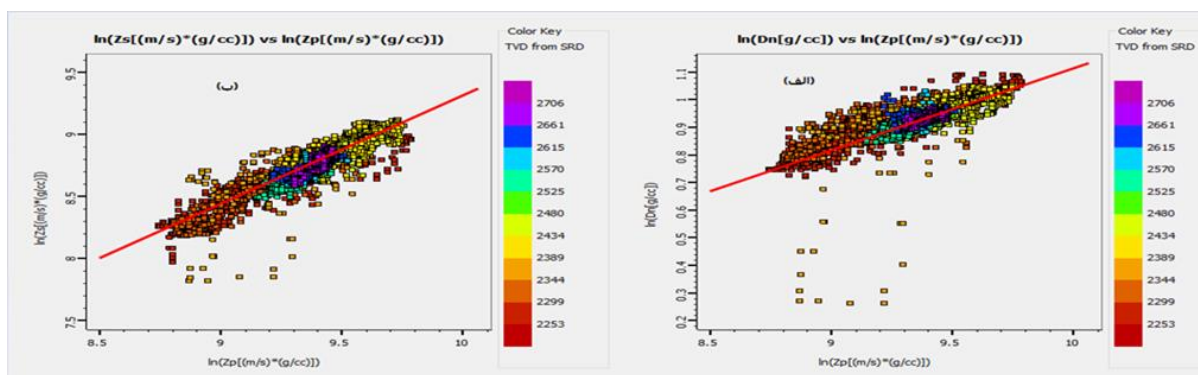
شکل ۴. نمودار زمانی و طیف دامنه و فاز میانگین حاصل از پنج موجک میانگین در بازه‌های زاویه‌ای ۵ تا ۹ درجه، ۹ تا ۱۳ درجه، ۱۳ تا ۱۷ درجه، ۱۷ تا ۲۱ درجه و ۲۱ تا ۲۵ از هفت چاه.

تقاطعی لگاریتم مقاومت برشی بر حسب لگاریتم مقاومت صوتی هستند. جدول ۱ مقادیر به دست آمده را نشان می‌دهد. درنهایت، با وارونسازی پیش از برانبارش، چگالی، مقاومت برشی و مقاومت تراکمی با استفاده از روابط (۹)، (۱۰) و (۱۱) محاسبه می‌شوند.

با توجه به شکل ۶، با وارونسازی پیش از برانبارش، مقادیر m_c و k_c با استفاده از نگاره‌های چاه محاسبه می‌شوند. این متغیرها به ترتیب نشان‌دهنده شیب خط و عرض از مبدأ نمودار تقاطعی لگاریتم چگالی بر حسب لگاریتم مقاومت صوتی، شیب خط و عرض از مبدأ نمودار



شکل ۵. مدل اولیه فرکانس پایین به دست آمده از چاه‌ها و حجم لرزه‌ای پیش از برانبارش برای وارونسازی لرزه‌ای پیش از برانبارش.



شکل ۶. نحوه محاسبه مقادیر k_c و m_c با استفاده از نمودارهای تقاطعی (الف) نمودار تقاطعی چگالی- مقاومت صوتی (ب) نمودار تقاطعی مقاومت برشی- مقاومت صوتی.

(۱۹۹۶) می توان احتمال رخداد یک نوع دسته یا پدیده (مثل ماسه گازدار یا نفتدار، ماسه رسی و ...) را در صورت رخداد یک شرط خاص (مثل رخداد یک نشان- دهنده لرزه‌ای) با معادله زیر محاسبه کرد:

$$P(c|X) = \frac{P(c) \cdot P(X|c)}{P(X)}, \quad (12)$$

که در آن c یک نوع دسته و $P(c)$ درصد احتمال رخداد اولیه آن، X نشان‌دهنده شرط مورد نظر و $P(X|c)$ احتمال رخداد آن را نشان می‌دهد. $P(X|c)$ احتمال وقوع X به شرط رخداد پدیده c است (برای مثال، بازه‌ای از نسبت سرعت موج تراکمی به سرعت موج برشی که می‌دانیم مربوط به ماسه است).

۶ بحث و نتایج

در این تحقیق، روش وارونسازی لرزه‌ای پیش از برانبارش با استفاده از داده‌های لرزه‌ای سه‌بعدی پیش از برانبارش برای پیش‌بینی خواص فیزیکی مانند سنگ‌شناسی و تخلخل و با هدف محاسبه مقاومت صوتی لرزه‌ای، مقاومت برشی، چگالی و نسبت سرعت موج تراکمی به سرعت موج برشی برای پیش‌بینی و تعیین تغییرات سنگ‌شناسی و نوع سیال به کار گرفته شده است. کنترل کیفیت و شرایط داده‌های

جدول ۱. مقادیر k_c و m_c محاسبه شده.

k	k_c	m	m_c
۰/۸۷۴۱	۰/۵۷۲۱۱۳	۰/۲۹۷۰۴	-۱/۸۵۵۸۵

$$\rho = (ml_p + m_c + \Delta l_d), \quad (9)$$

$$z_s = \exp(kl_p + k_c + \Delta l_s), \quad (10)$$

$$z_p = \exp(l_p), \quad (11)$$

در معادلات بالا، پارامترهای L_s , L_p و L_D با روابط $L_D = L_p$, $L_s = \ln z_s$ و $\ln \rho = L_p$ تعریف می‌شوند.

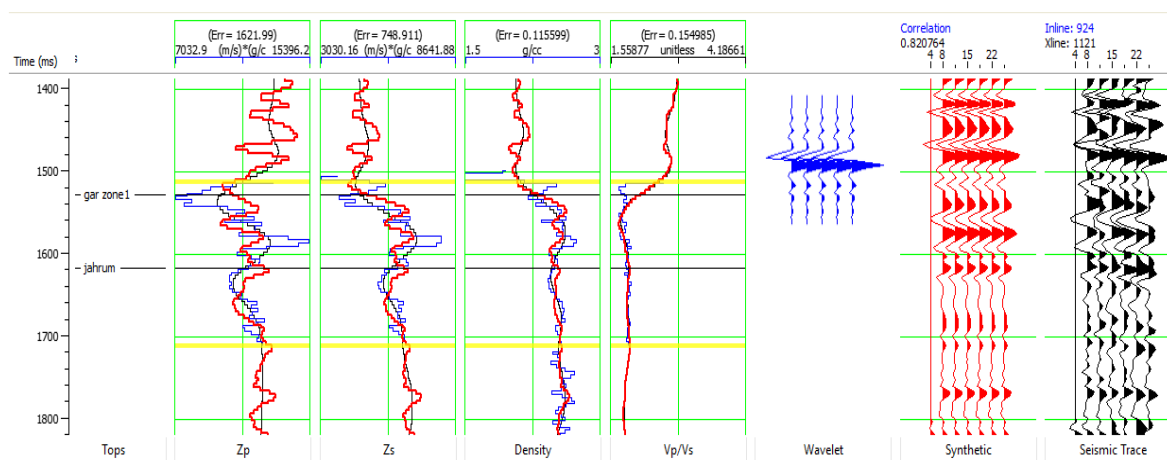
LithoSi ۵

از آنجاکه تفسیرهای حاصل از وارونسازی پیش از برانبارش، ممکن است تحت تأثیر کیفیت و میزان تفکیک- پذیری داده‌های لرزه‌ای قرار گیرند؛ برای تفسیر بهتر و پیش‌بینی دقیق‌تر خصوصیات مخزن می‌توان از مدل‌سازی LithoSI استفاده کرد. همان‌طور که گفته شد، این روش به جای انتخاب مستقیم یک ناحیه از روی نمودار تقاطعی، از یک توزیع احتمالی روی آن ناحیه بهره می‌گیرد و توزیع احتمالی تعیین شده به کمک طبقه‌بندی بیز روی مقادیر وارونشده اعمال می‌شود. برای نمونه، به کمک نظریه

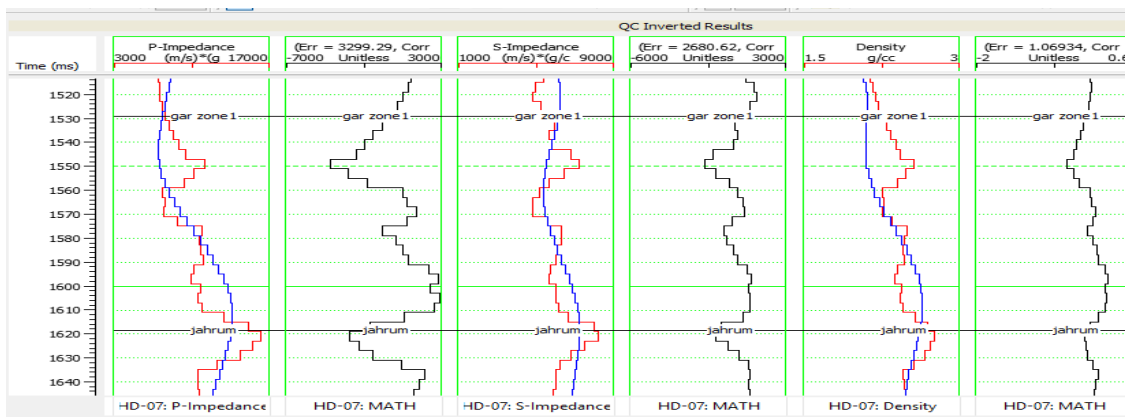
وارونسازی روی کل حجم لرزه‌ای، مقاطع مقاومت صوتی و برشی و چگالی به دست می‌آیند. نتایج نشان می‌دهند مقاومت برشی به دست آمده از وارونسازی در مقایسه با نتایج مقاومت تراکمی، سازگاری کمتری با داده‌های چاه دارند که علت آن، واپستگی بسیار زیاد مقاومت برشی به اطلاعات دورافت است.

شکل ۸ تحلیل نتایج وارونسازی پیش از برانبارش و عدم قطعیت وارونسازی پیش از برانبارش را نشان می‌دهد. با توجه به این شکل، نمودارهای قرمزنگ نتایج وارونسازی را نشان می‌دهند و نمودارهای آبی‌رنگ ردلرزه‌های واقعی را مشخص می‌کنند. نمودار مشکی نشان‌دهنده خطای دو نمودار است. با توجه به این شکل، نمودارهای چگالی و مقاومت صوتی و مقاومت برشی به دست آمده از ردلرزه‌ها (آبی) بر نمودارهای حاصل از وارونسازی (قرمز) منطبق شده‌اند. این شکل میزان خطا و همبستگی بین چگالی، مقاومت صوتی و برشی حاصل از چاه را با مقادیر به دست آمده از وارونسازی نشان می‌دهد.

ورودی از مراحل مهم در وارونسازی هستند. اصولاً نشان‌دهنده‌های پتروفیزیکی را می‌توان هدف نهایی وارونسازی پیش از برانبارش دانست. پارامترهای کشسانی به دست آمده از روش وارونسازی لرزه‌ای پیش از برانبارش می‌توانند برای پیش‌بینی توانایی مخزن برای ذخیره‌سازی و انتقال هیدروکربن استفاده شوند. برای ارزیابی وارونسازی در محل چاه‌ها، ردلرزه واقعی اطراف چاه با ردلرزه مصنوعی ایجاد شده از نتیجه وارونسازی با هم مقایسه شده‌اند. انتخاب بهینه موجک وارونسازی باید به گونه‌ای باشد که تا حد امکان مقاومت‌های ناشی از نگاره‌های چاه با مقاومت‌های حاصل از وارونسازی نهایی منطبق باشند. شکل تطابق کلی ۸۲ درصدی بین مقادیر مقاومت صوتی، مقاومت برشی و چگالی به دست آمده از وارونسازی و داده‌های حاصل از چاه را در مرحله تحلیل با استفاده از موجک‌های میانگین در بازه‌های زاویه‌ای دور، نزدیک و میانه نشان می‌دهد. پس از وارونسازی در محل چاه‌ها و نهایی کردن پارامترهای وارونسازی با آزمایش‌های گسترده و انتخاب مقادیر بهینه برای پارامترها، می‌توان وارونسازی را بر کل مکعب داده‌ها اعمال کرد. با اعمال



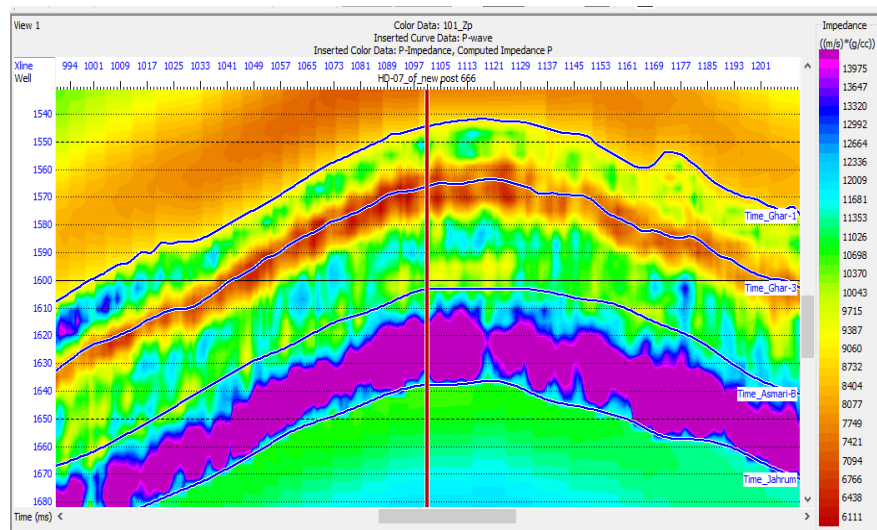
شکل ۷. تحلیل وارونسازی در چاه‌ها. سازگاری نگاره‌های حاصل از وارونسازی پیش از برانبارش (قرمزرنگ) با نگاره‌های چاه (آبی‌رنگ).



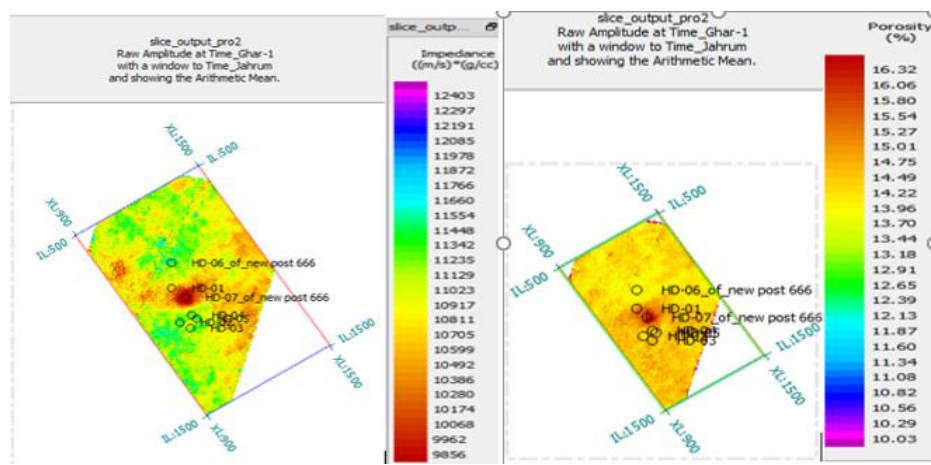
شکل ۸. مقایسه نمودار نگارهای حاصل از وارونسازی پیش از برانبارش (قرمز) و داده‌های حاصل از چاه (آبی) به همراه خطای عدم برازش (سیاه).

صوتی بسیار کم است، به رنگ سبز تغییر می‌کند که نشان‌دهنده مقاومت صوتی بیشتر نسبت به سازند غار-یک است. این افزایش نسبی در مقدار مقاومت صوتی حاکی از وجود نفت در این قسمت است. سرعت صوت و مقاومت صوتی نفت بیشتر از گاز است؛ به همین دلیل، در سازند آسماری-دو، مقاومت صوتی بیشتری نسبت به سازند غار-یک وجود دارد. از سازند آسماری-دو تا جهرم، مقدار مقاومت صوتی از رنگ سبز به رنگ بنفش تغییر پیدا کرده است که نشان‌دهنده افزایش زیاد مقاومت صوتی است. وجود آب در این قسمت باعث افزایش سرعت موج P طولی و در پی آن، افزایش مقاومت صوتی شده است.

شکل ۹ مقطع مقاومت صوتی به دست آمده از وارونسازی را به همراه چاه ۷ نشان می‌دهد. با توجه به این شکل، یک لایه با مقاومت صوتی کم با رنگ قرمز در اعمق کم در سازند غار-یک بین دو لایه با مقاومت صوتی زیاد قرار گرفته است که بیانگر کاهش مقاومت صوتی در این قسمت است. وجود گاز در این سازند باعث کاهش شدید سرعت صوت و چگالی و درنتیجه، کاهش مقاومت صوتی در این سازند شده است. با افزایش عمق از سازند غار-یک تا آسماری-دو، مقدار مقاومت صوتی به صورت لایه‌لایه در چاه ۷ افزایش می‌یابد و رنگ قرمز که نشان‌دهنده مقاومت



شکل ۹. مقطع مقاومت صوتی حاصل از وارونسازی پیش از برانبارش به همراه نگاره مقاومت صوتی چاه ۷

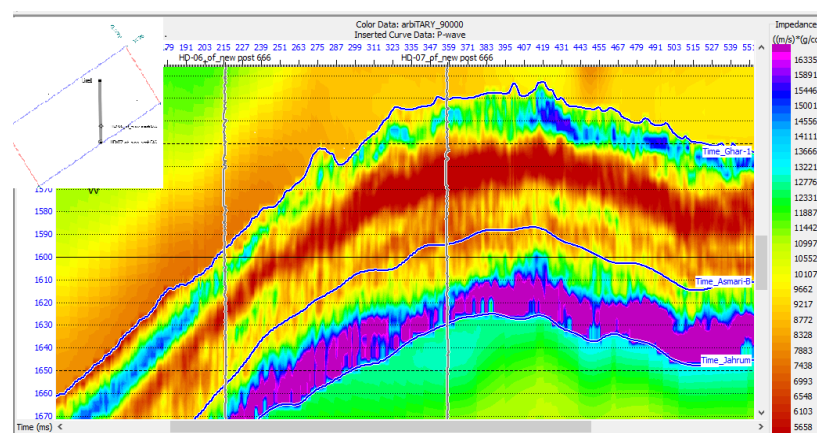


شکل ۱۰. برش مقاومت صوتی و تخلخل میانگین بین افق‌های غار-آسماری تا جهرم.

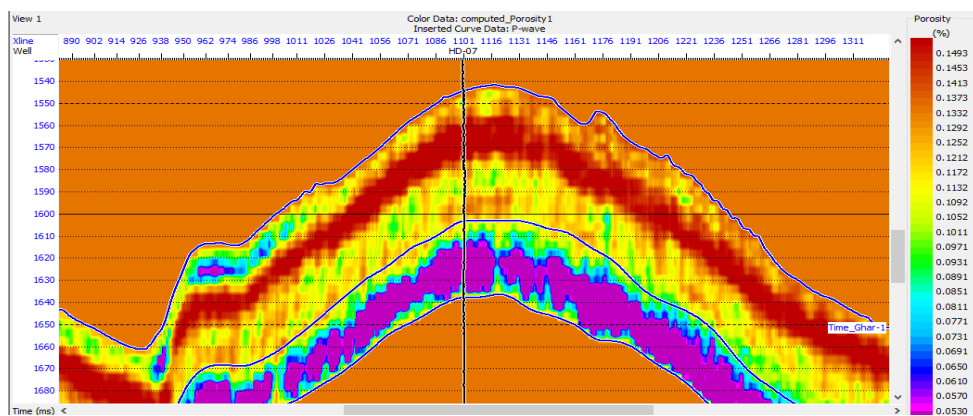
با کیفیت مخزنی است.

شکل ، نتایج وارونسازی را به صورت برش‌های عمودی از مقاومت صوتی بین دو ناحیه غار-یک و جهرم در راستای خط لرزه‌ای نشان می‌دهد که از محل دو چاه ۶ و ۷ عبور می‌کند. با توجه به این شکل، یک لایه با مقاومت صوتی کم در ناحیه غار-آسماری به رنگ قرمز نشان داده شده است. با حرکت از چاه ۶ به سمت چاه ۷، محدوده لایه با مقاومت صوتی کم (رنگ قرمز) در سازند غار-آسماری افزایش می‌یابد. وجود گاز باعث کاهش شدید مقاومت صوتی در سازند غار-آسماری در چاه ۷ شده است. اشباع گاز در غار-آسماری به سمت چاه ۷ بیشتر شده است و مقاومت صوتی در این قسمت کاهش بیشتری داشته است.

شکل ۱۰، نقشه‌های برش مقاومت صوتی میانگین و تخلخل میانگین به دست آمده از افق لرزه‌ای غار-آسماری تا افق لرزه‌ای جهرم را با استفاده از هفت چاه نشان می‌دهد. این نقشه‌ها برای مشخص کردن نواحی با کیفیت مخزنی کاربرد دارد. با توجه به شکل ۱۰، چاه‌های ۱ تا ۵ مقاومت میانگین صوتی زیادی دارند. چاه ۷ مقاومت صوتی میانگین کمی دارد ولی با توجه به نقشه تخلخل میانگین در شکل ۱۰، مقدار تخلخل میانگین زیادی را نشان می‌دهد. مقاومت صوتی چاه ۶ به مقاومت صوتی چاه ۷ نزدیک و به نسبت بیشتر از آن است و با توجه به نقشه تخلخل، میانگین تخلخل کمتری نسبت به چاه ۷ نشان می‌دهد. البته در این چاه هم تخلخل به نسبت خوبی وجود دارد که نشان‌دهنده نواحی



شکل ۱۱. مقطع مقاومت صوتی به دست آمده در راستای مسیر خط نشان داده شده در نقشه مبنا (سمت چپ) بین دو ناحیه غار-یک و جهرم. محل چاه‌ها نیز در شکل مشخص است.

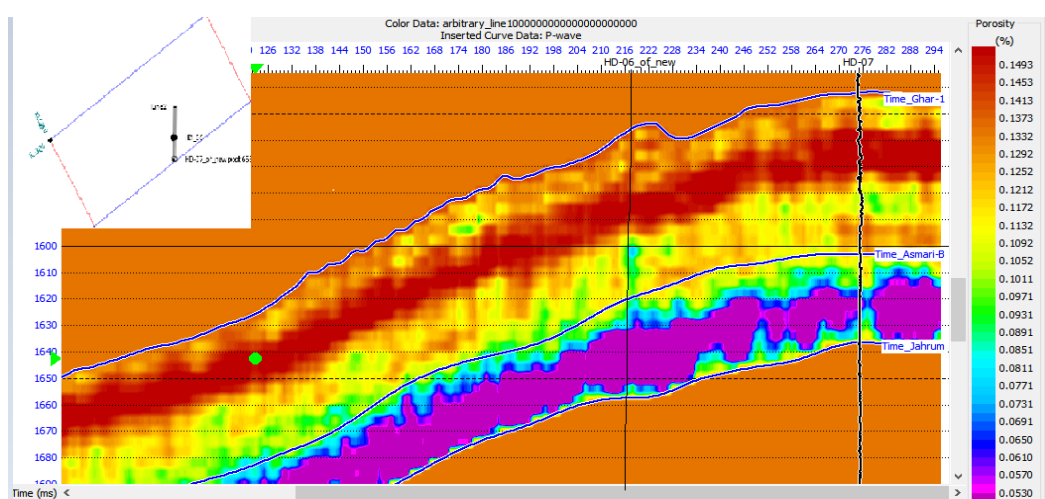


شکل ۱۲. مقطع تخلخل به دست آمده از مقطع مقاومت صوتی در چاه ۷

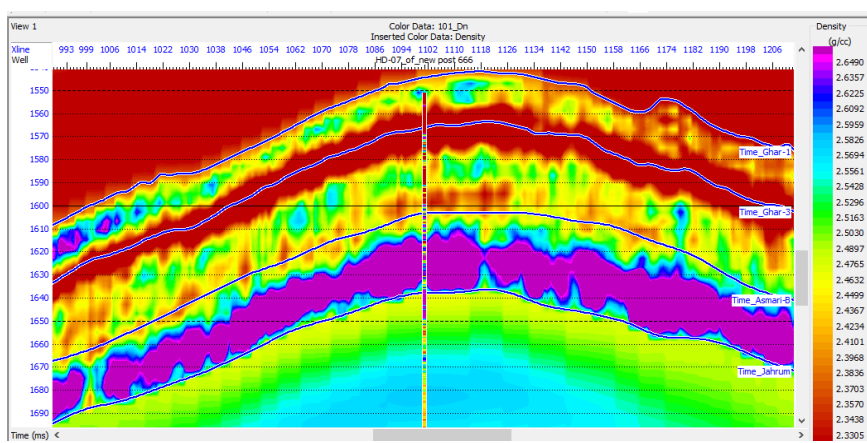
بهتری دارد. وجود نفت در آسماری-دو باعث شده است در این قسمت، چگالی افزایش یابد. از سازند غار-آسماری-دو تا جهرم، چگالی افزایش یافته است. وجود آب در این قسمت سبب افزایش چگالی در سازند جهرم شده است. افزایش چگالی در این قسمت نشان دهنده کاهش کیفیت مخزنی سازند جهرم است. شکل ۱۵، مقطع مقاومت برشی حاصل از وارونسازی پیش از برانبارش را نشان می‌دهد. همان‌طور که مشاهده می‌شود، مقاومت برشی در قسمت غار-آسماری نسبت به سازند جهرم کمتر است. قسمت‌هایی که مقاومت برشی کمتری دارند، کیفیت مخزنی (تخلخل) بهتری دارند.

در شکل ۱۳، مقطع تخلخل در راستای مسیر خط مشخص شده است. با توجه به این شکل، در ناحیه غار-آسماری رنگ قرمز که نشان‌دهنده تخلخل زیاد است، با پیشروی از چاه ۶ به سمت چاه ۷ افزایش می‌یابد و رنگ بنفش که نشان‌دهنده تخلخل کم است، با حرکت به سمت چاه ۷ کاهش می‌یابد. هر چه تخلخل افزایش یابد، میزان حجم سیالات مخزن نیز می‌تواند بیشتر باشد.

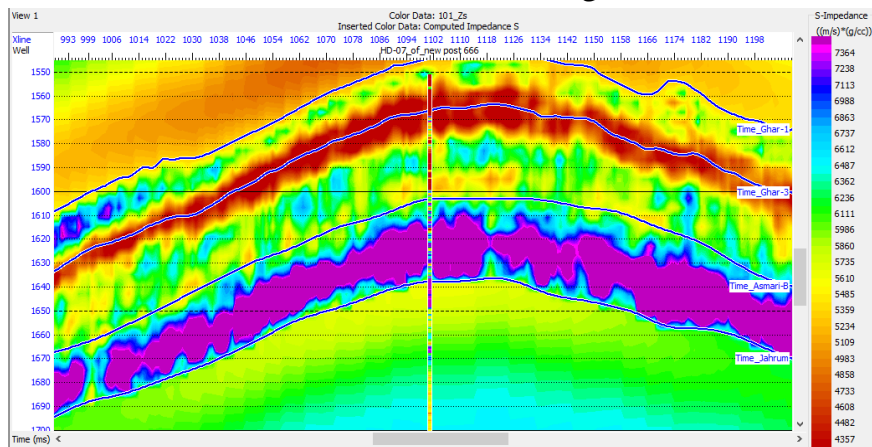
شکل ۱۴، مقطع چگالی به دست آمده از وارونسازی را نشان می‌دهد. از سازند غار-یک تا آسماری-دو چگالی افزایش پیدا کرده است. سازند غار-یک از لحاظ پارامترهای کیفیت مخزنی، مثل تخلخل، خاصیت مخزنی



شکل ۱۳. مقطع تخلخل به دست آمده در راستای خط نشان داده شده در نقشه مینا بین دو ناحیه غار-یک و جهرم.



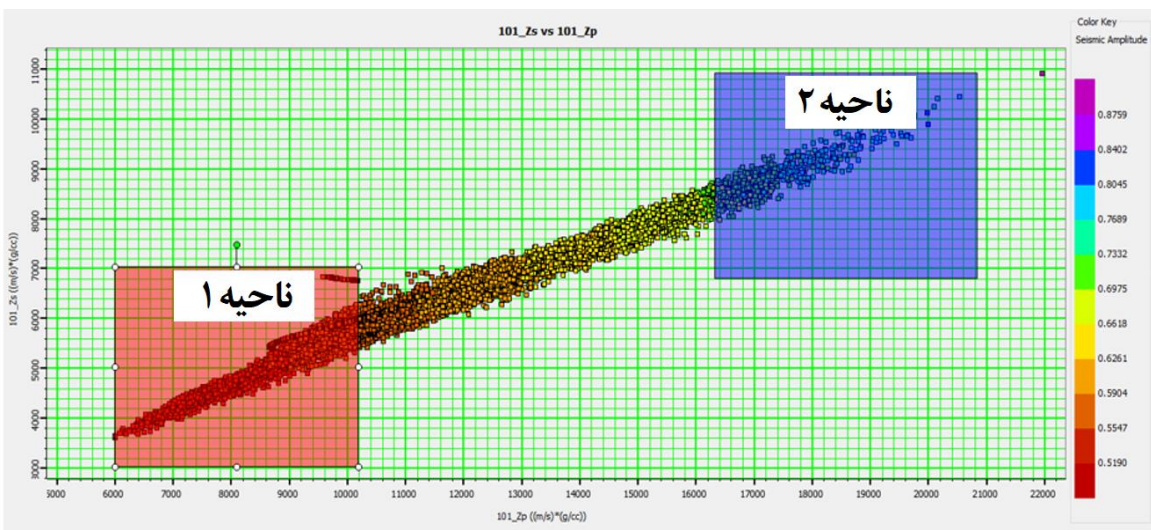
شکل ۱۴. مقطع چگالی به دست آمده از وارون‌سازی پیش از برآنبارش



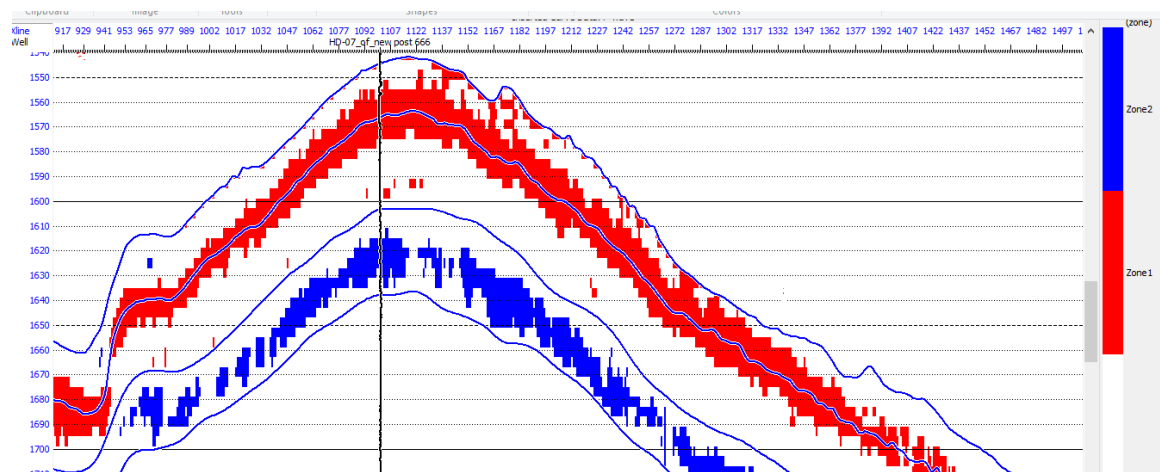
شکل ۱۵. مقطع مقاومت برشی به دست آمده از وارون‌سازی پیش از برآنبارش

مقاومت صوتی بسیار زیاد و اشباع آب زیادی دارد، در مقطع لرزه‌ای ناحیه جهرم نمایان شد. شکل ۱۷ ناحیه‌های جداسده در شکل ۱۶ را در مقطع لرزه‌ای نشان می‌دهد. با توجه به شکل ۱۷، ناحیه ۱ که اشباع آب و مقاومت صوتی و برشی بسیار کمی دارد، در ناحیه غار-یک قرار می‌گیرد. وجود گاز در سازند غار-یک میتواند این انجام تقسیم‌بندی است. ناحیه ۲ که مقدار اشباع آب و مقدار مقاومت صوتی و برشی بسیار زیادی دارد، در مقطع لرزه‌ای در سازند جهرم به رنگ آبی دیده می‌شود. با توجه به این نتایج، در ناحیه غار-آسماری مقدار اشباع شدگی آب کمی وجود دارد، ولی از ناحیه غار-آسماری تا جهرم مقدار اشباع شدگی آب افزایش یافته است. جدول ۲ مقدار اشباع آب و تخلخل را در سازندهای غار-آسماری و جهرم نشان می‌دهد.

شکل ۱۶ نمودار تقاطعی مقاومت برشی بر حسب مقاومت صوتی به دست آمده از وارون‌سازی را براساس تغییرات اشباع آب نشان می‌دهد. با توجه به شکل ۱۶، رنگ بنفس که نشان‌دهنده اشباع زیاد آب است، در مقدار مقاومت صوتی و مقاومت برشی زیاد نمایان شده است. رنگ صورتی که نشان‌دهنده اشباع آب کم است، در مقدار کم مقاومت‌های صوتی و برشی نشان داده است؛ بنابراین می‌توان با توجه به مقدار اشباع آب، مقاومت صوتی و مقاومت برشی ناحیه‌ها را جدا و بر حجم لرزه‌ای اعمال کرد. ناحیه‌ها با توجه به تغییرات اشباع آب و مقاومت صوتی و برشی با توجه به مقیاس رنگی ایجاد شده حاصل از اشباع آب تفکیک شدن. با اعمال این ناحیه‌ها بر مقطع لرزه‌ای مشخص شد ناحیه‌ای که اشباع آب و مقاومت صوتی کم دارد، در سازند غار-یک دیده می‌شود. ناحیه‌ای که



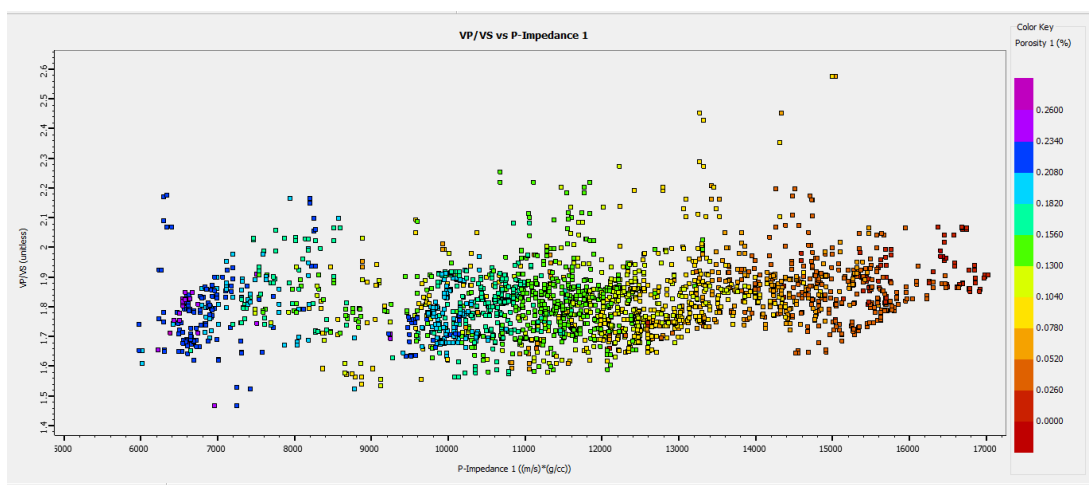
شکل ۱۶. نمودار تقاطعی مقاومت برشی بحسب مقاومت صوتی. در این نمودار تقاطعی با افزایش مقاومت صوتی و برشی حاصل از وارونسازی لرزه‌ای، مقدار اشباع آب افزایش می‌یابد. ستون رنگی نشان‌دهنده تغییرات اشباع آب است.



شکل ۱۷. ناحیه‌های بدست‌آمده از مقطع لرزه‌ای براساس تغییرات اشباع آب.

جدول ۱. مقدار تخلخل، حجم شبیل و مقدار اشباع آب در سازندهای غار- یک، آسماری- دو و جهرم.

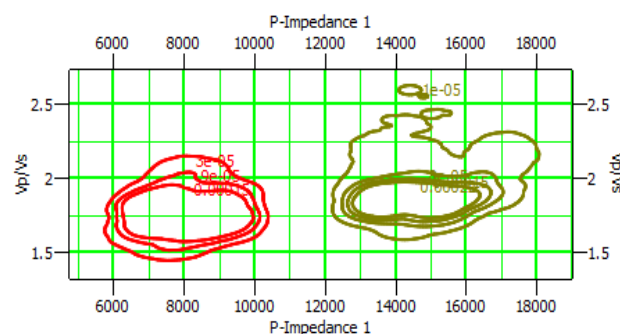
سازندها	تخلخل	اشباع آب
غار- یک	۱۴ درصد	۵۰ درصد
آسماری- دو	۱۱ درصد	۵۸ درصد
جهرم	۵ درصد	۶۹ درصد



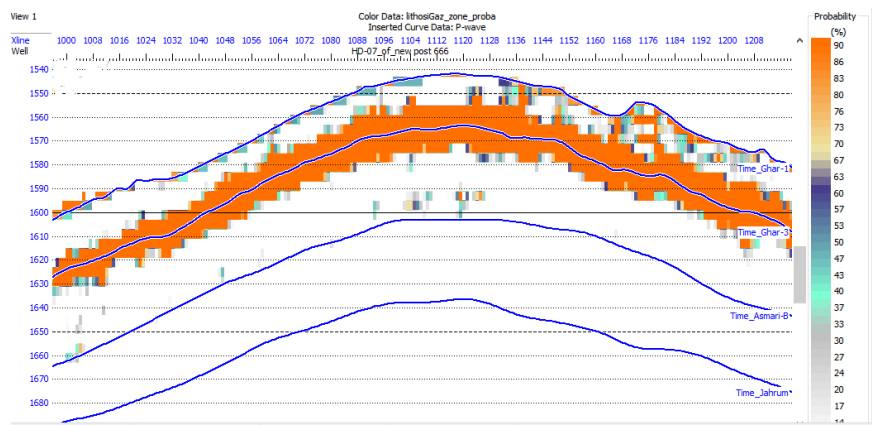
شکل ۱۸. نمودار تقاطعی نسبت سرعت موج تراکمی به سرعت موج برشی بر حسب مقاومت صوتی براساس تغییرات تخلخل (ستون رنگی سمت راست)

و آب انتخاب و نوع سیال در میدان تشخیص داده شد. شکل ۱۹، نشان‌دهنده نقشه به دست آمده از سیال آب (نمودار سبزرنگ) و گاز (نمودار قرمزرنگ) در میدان با استفاده از روش LithoSI است. شکل ۲۰، سیال گازی موجود در غار-یک را نشان می‌دهد که با استفاده از روش LithoSI تعیین شده است. با توجه به این نمودار، رنگ نارنجی نشان‌دهنده احتمال زیاد وجود گاز در میدان است که در قسمت غار-یک به خوبی مشهود است. در شکل ۲۱ رنگ نارنجی نشان‌دهنده احتمال زیاد وجود آب است که با توجه به شکل، رنگ نارنجی تنها در قسمت جهرم نمایان شده است و وجود آب در این قسمت را

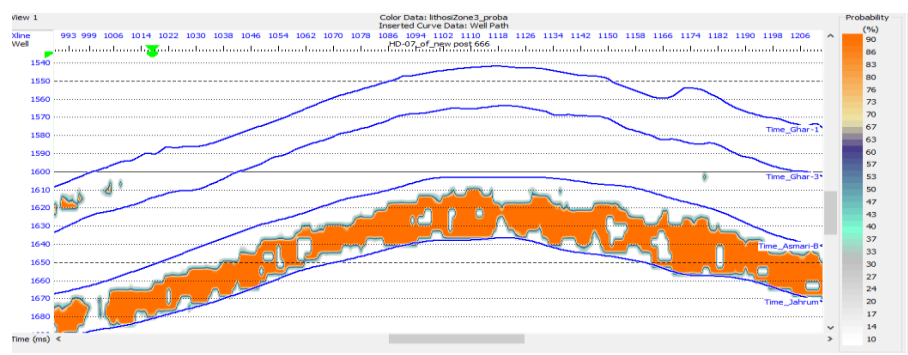
شکل ۱۸ نمودار تقاطعی نسبت سرعت موج تراکمی به سرعت موج برشی بر حسب مقاومت صوتی را که در واقع یک الگوی فیزیک سنگی متداول است، براساس تغییرات تخلخل نشان می‌دهد که با افزایش مقاومت صوتی، مقدار تخلخل با توجه به این نمودار RPT (Rock Physics Template) کاهش می‌یابد. در این شکل، رنگ بنفش که نشان‌دهنده تخلخل زیاد است، در قسمت‌هایی با مقاومت صوتی کم و رنگ قرمز که نشان‌دهنده تخلخل کم است، در قسمت‌هایی با مقاومت صوتی زیاد مشاهده شد. در روش LithoSI ابتدا نمودار تقاطعی نسبت سرعت موج تراکمی به سرعت موج برشی بر حسب مقاومت صوتی رسم شد و با توجه به مقدار مقاومت صوتی، دو ناحیه گاز



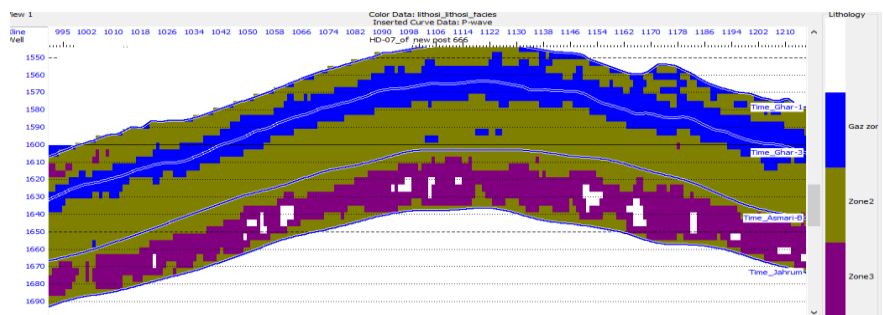
شکل ۱۹. نمودار تقاطعی نسبت سرعت موج تراکمی به سرعت موج برشی بر حسب مقاومت صوتی. خطوط تراز سبز نشان‌دهنده آب و خطوط تراز قرمز نشان‌دهنده گاز در میدان مورد مطالعه است.



شکل ۲۰. تفکیک سیال مخزنی گاز با استفاده از روش .LithoSI



شکل ۲۱. تفکیک سیال غیرمخزنی آب با استفاده از روش .LithoSI



شکل ۲۲. تفکیک سازندهای مخزنی و غیرمخزنی با استفاده از روش .LithoSI

۷ نتیجه‌گیری

با استفاده از روش وارونسازی پیش از برانبارش، می‌توان خروجی‌های الگوریتم وارونسازی؛ یعنی سرعت موج‌های طولی و برشی، چگالی و مقاومت صوتی و برشی را در محدوده مخزنی به پارامترهای کاربردی ژئومکانیکی

نشان می‌دهد. شکل ۲۲، تفکیک سیالات با استفاده از این روش را نشان می‌دهد که رنگ آبی نشان‌دهنده سیال گازی و رنگ بنفش نشان‌دهنده آب در این قسمت است؛ درنتیجه، سازند غار و قسمت‌های بالای سازند آسماری، اشباع از گاز و سازند جهرم اشباع از آب است.

را مشاهده کرد. با استفاده از چاهها و مقطع مقاومت صوتی به دست آمده از وارونسازی، مقطع تخلخل محاسبه شد. سپس با اعمال تخلخل بر کل داده‌های لرزه‌ای، هر ردلرزه به تخلخل تبدیل شد و تخلخل علاوه‌بر محل چاهها، در قسمت‌های مابین چاهها نیز بررسی شد. تغییرات تخلخل از سازند غار-آسماری تا جهرم نشان می‌دهد که در سازند غار-آسماری مقدار تخلخل زیاد مشاهده شده که این افزایش تخلخل، باعث کاهش چگالی و سرعت صوتی در این ناحیه شده است و از آنجایی که مقاومت صوتی حاصل ضرب سرعت صوتی در چگالی است، مقاومت صوتی کمی در غار-آسماری مشاهده شد. همچنین سیال گازی موجود در سازند غار-آسماری باعث کاهش سرعت صوت و چگالی و کاهش مقاومت صوتی در این قسمت شده است. با توجه به شکل، از سازند غار-آسماری تا جهرم مقدار تخلخل کمی مشاهده شد. کاهش تخلخل در سازند جهرم و سیال آبی موجود در این سازند، باعث افزایش مقاومت صوتی در این سازند شده است. در این پژوهش، تخلخل بیشتر از ۱۵ درصد و اشباع‌شدگی آب کمتر از ۵۰ درصد در سازند غار-آسماری در قسمت‌هایی با مقاومت صوتی کم مشاهده شد.

استفاده از نمودار تقاطعی مقاومت برشی برحسب مقاومت صوتی براساس تغییرات تخلخل نشان داد که در مقادیر کم، مقاومت صوتی و برشی و مقدار تخلخل زیادی نمایان می‌شود که با افزایش تخلخل، مقدار مقاومت‌ها و چگالی کاهش می‌یابد. افزایش تخلخل ناشی از افزایش فضای خالی سنگ و درنتیجه، افزایش پتانسیل سنگ مخزن برای ذخیره سیالات هیدروکربنی است؛ بنابراین، هر چه تخلخل سنگ بیشتر باشد، میزان حجم سیالات مخزن نیز می‌تواند بیشتر شود و کیفیت مخزنی را افزایش دهد. در سازند غار-آسماری تخلخل زیاد و کیفیت مخزنی خوبی وجود دارد.

استفاده از نمودار تقاطعی مقاومت برشی برحسب

(همانند نسبت پواسون) تبدیل کرد. هدف از این مقاله، استفاده از وارونسازی پیش از برانبارش برای بررسی سیالات هیدروکربنی و نیز تغییرات تخلخل و اشباع‌شدگی آب در سازندهای غار-آسماری و جهرم است. در این پژوهش، با استفاده از موجک‌های میانگین در سه بازه زاویه‌ای دور، میانی و نزدیک و بهره‌گیری از اطلاعات مدل‌های اولیه فرکانس پایین، عمل وارونسازی پیش از برانبارش انجام گرفت. برای بررسی کارایی وارونسازی، ردلرزه‌های مصنوعی به دست آمده از نتایج وارونسازی با ردلرزه‌های واقعی اطراف چاهها مقایسه شدند.

در این مطالعه، با انجام وارونسازی پیش از برانبارش و اعمال آن بر کل حجم لرزه‌ای، مقاطع مقاومت صوتی، مقاومت برشی و چگالی به دست آمد. نتایج وارونسازی نشان می‌دهند که در ناحیه غار-یک و آسماری-دو، مقاومت صوتی، مقاومت برشی و چگالی مقادیر کمی دارند. از سازند آسماری-دو تا جهرم مقادیر مقاومت صوتی، مقاومت برشی و چگالی بیشتر شده و سیال از نفت به آب تغییر پیدا کرده است. از آنجاکه آب نسبت به نفت، مقاومت صوتی، برشی و چگالی افزایش یافت. تصاویر سه‌بعدی تغییرات تخلخل در میدان مورد مطالعه با استفاده از نتایج وارونسازی محاسبه شد. همچنین نمودارهای تقاطعی مقاومت برشی برحسب مقاومت صوتی براساس تغییرات اشباع آب و تخلخل ترسیم شد و مناطقی براساس تغییرات مقاومت‌های صوتی و برشی تفکیک شد. با اعمال این نواحی بر مقطع لرزه‌ای در سازند غار-آسماری مقدار تخلخل زیاد و مقدار اشباع‌شدگی آب کم مشاهده شد. با توجه به اینکه سازند غار-آسماری گازی است، مقاومت صوتی کمی در آن مشاهده شد و تخلخل زیادی را نتیجه داد.

مقاومت صوتی با تخلخل ارتباط دارد؛ بنابراین می‌توان مقطع مقاومت صوتی را به تخلخل تبدیل و تغییرات تخلخل

- InterpretationMethods Leading to Quantitative Interpretation," csegrecorder, vol. 39 No. 08,, pp. pp 18-26., Oct 2014
- Gardner, G. H. F., Gardner, L. W., and Gregory, A. R., 1974, Formation velocity and density-The diagnostic basics for stratigraphic traps: Geophysics, 39(6), 770-780.
- Sivia,D.S.Data Analysis:A Bayesian Tutorial . oxford university press, oxford , 1996 andTechnology, 10(8), 853-862.
- Chopra, S., and Castagna, J. P., 2014, AVO: Society of Exploration Geophysicists.
- Ghanbarnejad, H. M., Riahi, M. A., Bagheri, M., Seyed, M., 2017, Determining the area of reservoir using simultaneous inversion of seismic data: Iranian Journal of Geophysics, 11(3), 45-56.
- Goodway, B., Chen, T., and Downton, J., 1997, Improved AVO fluid detection and lithology discrimination using Lamé petro physical parameters; " $\lambda\rho$ ", " $\mu\rho$ " & " λ/μ fluid stack", from P and S inversions: SEG Technical Program Expanded Abstracts, Society of Exploration Geophysicists, 183-186..
- Hampson, D. P., Russell, B. H., and Bankhead, B., 2005, Simultaneous inversion of pre-stack seismic data: SEG Technical Program Expanded Abstracts, 1633-1637, Society of Exploration Geophysicists
- Ma, X. Q., 2002, Simultaneous inversion of prestack seismic data for rock properties using simulated annealing: Geophysics, 67(6), 1877-1885.
- Mallick, S., 1999. Some practical aspects of prestack waveform inversion using a genetic algorithm: An example from the east Texas Woodbine gas sand. Geophysics, 64(2), pp.326-336Woodbine gas sand: Geophysics, 64(2), 326-336.
- Moosavi, N., and Mokhtari, M., 2016, Application of Post-StacN and Pre-StacN seismic inversion for prediction of hydrocarbon reservoirs in a Persian Gulf Gas field: International Journal of Environmental, Chemical, Ecological, Geological and Geophysical Engineering, World Academy of Science, Engineering , 10(8), pp.853-862
- Schulte, B. Wm., and Manthei, D., 2014, Chasing Density- An Introduction to Seismic Acquisition, Processing, and Interpretation Methods Leading to Quantitative Interpretation, csegrecorder, 39(08), 18-26.
- Veeken, P. C., 2006, Seismic stratigraphy, basin analysis and reservoir characterization: Elsevier, 37.

مقاومت صوتی براساس تغییرات اشباع آب نشان داد که در این نمودار تقاطعی، با افزایش مقاومت صوتی و برشی حاصل از وارونسازی لرزه‌ای، مقدار اشباع آب افزایش یافته است. همواره باید توجه داشت که تأثیر تخلخل و رس بر اشباع آب بسیار ناچیز است. با اعمال نتایج وارونسازی پیش از برآنبارش بر نواحی جدا شده براساس تغییرات اشباع آب و مقاومت‌های صوتی و برشی مشخص شد که ناحیه‌ای که مقدار اشباع آب و مقاومت صوتی و برشی بسیار کمی دارد، در مقطع لرزه‌ای در ناحیه غار- یک واقع شده است. نمودار تقاطعی برحسب تغییرات تخلخل نشان داد که با افزایش مقاومت صوتی، مقدار تخلخل با توجه به نمودار RPT کاهش می‌باید.

از الگوریتم LithoSI برای شناسایی قسمت‌های شامل نفت و گاز و آب استفاده شد. در روش LithoSI ابتدا نمودار تقاطعی نسبت سرعت موج تراکمی به سرعت موج برشی برحسب مقاومت صوتی رسم و با توجه به مقدار مقاومت صوتی و برشی، دو ناحیه گازی و آبی انتخاب و نوع سیال در میدان تشخیص داده شد. با انجام این روش در چاه و مقایسه آن با نتایج وارونسازی پیش از برآنبارش وجود نفت و گاز در غار- آسماری اثبات شد.

منابع

- طیی، م.، نبی بیدهندی، م.، نظری، ب.، ۱۳۹۱، وارونسازی پیش از برآنبارش بر روی مخزن ماسه سنگی غار در میدان هندیجان: ماهنامه اکتشاف و تولید، ۹۷، ۸۶-۹۳.
- A. Buland and H. Omre, "Bayesian linearized AVO inversion," Geophysics, vol. 68. pp. 185-198. 2003.
- Aki, K., and Richards, P. G., 1980, Quantitative Seismology: Theory and Methods, W. H. Freeman and Co., Vol. 2.
- P. F. Anderson, "Comparing post-stack AVO inversion to prestack inversion for estimating rock properties," in Fron.+ Innov. CSPG CSEG CWLS Convention, 2009. pp. 669-672.
- B. W. S. a. D. Manthei, "Chasing Density – An Introduction to Seismic Acquisition, and

Determining the quality of reservoir of Ghar-Asmari by using prestack inversion in one of the fields in Iran

Nasrin Jabbari¹, Navid Shadmanaman^{2*} and Ali Chehrazi³

¹ Master's Degree, Sahand Industrial University, Tabriz, Iran

² Assistant Professor, Faculty Member of Sahand Industrial University Tabriz, Iran

³ Head of the Department of Geology, Research Institute of Oil Industry, Tehran, Iran

(Received: 09 January 2019, Accepted: 18 February 2020)

Summary

The prestack seismic inversion converts seismic data to the physical properties of a rock such as sonic and shear impedance and density. It provides accurate information for predicting lithology changes and fluid types. In this paper, well logging data is used to construct synthetic seismogram. In the final stage, by transforming offset domain to angle domain and using the well information to the prestack seismic inversion, the extracted petrophysical parameters are discussed. The applied average wavelets of 7 wells in prestack inversion were in the angles of 5-9, 9-13, 13-17, 17-21 and 21-25 degrees. After wavelet extraction, low frequency acoustic impedance models and shear impedance and density were made as one of the inversion inputs. We built these, low frequency initial models using sonic log, shear impedance log and density log from well data.

There are two techniques for doing the pre-stack seismic inversion: simultaneous and elastic inversion. These techniques require wavelets and background model. Simultaneous pre-stacking inversion is defined by seismic trace angle, logarithms of P-impedance and S-impedance, and extracted wavelet but Elastic inversion uses a transformation of the Zeopritz equations

In other words, by performing the prestack inversion, the sonic and shear impedance and density are calculated using above mentioned equations.

In this paper, prestack seismic inversion method was carried out in one of Iranian oil fields in Ghar-Asmari Reservoir and Jahrum Reservoir formations. The results showed that the presence of oil and gas in the Ghar-Asmari zone caused the reduction of the sonic and shear impedance and density. From Ghar-Asmari zone to Jahrum, the amount of the sonic and shear impedance and density increased. Also, the results of sonic impedance cross-plots versus the ratio of sonic-to-shear wave velocity were determined based on porosity variations and water saturation changes. In Ghar-Asmari zone, porosity is high and water saturation is low because of the presence of gas and oil in this section. From Ghar-Asmari zone to Jahrum, water saturation increases and porosity decreases. Hence, using simultaneous inversion, the hydrocarbon reservoir was identified.

Keywords: Prestack seismic inversion, porosity, sonic impedance, shear impedance, saturation